



# การศึกษา ออกแบบ และจำลองการทำงานตัวปรับปรุงค่าประกอบกำลังแบบบริดจ์เลสส์โทเมปอล

พีรพล จันทร์หอม<sup>1\*</sup> และ พันชพงค์ หัตถกิจ<sup>2</sup>

<sup>1</sup> หน่วยวิจัยระบบอัจฉริยะและการแปลงผันพลังงาน, สาขาวิชาวิศวกรรมไฟฟ้า, คณะครุศาสตร์อุตสาหกรรม, มหาวิทยาลัยเทคโนโลยีราชมงคลสุวรรณภูมิ (ศูนย์นonthบุรี)

<sup>2</sup> ทีมวิจัยมอเตอร์และการแปลงผันพลังงาน, หน่วยวิจัยระบบอัจฉริยะ, ศูนย์เทคโนโลยีอิเล็กทรอนิกส์และคอมพิวเตอร์แห่งชาติ

\* ผู้ประสานงานเผยแพร่ (Corresponding Author), E-mail: peerapon.c@rmutsb.ac.th

วันที่รับบทความ: 3 ธันวาคม 2565; วันที่ทบทวนบทความ: 20 มีนาคม 2566; วันที่ตอบรับบทความ: 11 พฤษภาคม 2566

วันที่เผยแพร่อนline: 29 กรกฎาคม 2566

**บทคัดย่อ:** งานวิจัยนี้มีจุดประสงค์เพื่อศึกษาหลักการทำงาน เทคนิคการควบคุม การออกแบบ และการจำลองการทำงานของตัวปรับปรุงค่าประกอบกำลังแบบบริดจ์เลสส์โทเมปอล ซึ่งเป็นตัวปรับปรุงค่าประกอบกำลังที่มีประสิทธิภาพการทำงานสูงในปัจจุบัน ตัวปรับปรุงค่าประกอบกำลังชนิดนี้มีจุดเด่นคือ รูปแบบวงจรแบบโทเมปอลซึ่งเป็นการแบ่งการทำงานของอุปกรณ์สวิตช์ความถี่สูงและไดโอดในวงจรบริดจ์ออกจากกัน จึงทำให้การไหลของกระแสสวิตช์ความถี่สูงและกระแสหลักมูลความถี่ต่างแยกออกจากกัน ทำให้ความสูญเสียจากการเสรี-เวอร์สีรีฟเวอร์รีของไดโอดลดลง ดังนั้น งานวิจัยนี้จึงเน้นศึกษาหลักการทำงานและเทคนิคการควบคุมของตัวปรับปรุงค่าประกอบกำลังดังกล่าวเพื่อสร้างแบบจำลองสำหรับจำลองการทำงาน สำหรับใช้ประโยชน์เป็นเครื่องมือในการออกแบบต้นแบบจริงรวมถึงจำลองการทำงานร่วมกับระบบอิเล็กทรอนิกส์กำลังสมัยใหม่อีกด้วย และเพื่อยืนยันความถูกต้องของแบบจำลองที่สร้างขึ้น งานวิจัยนี้ได้ทำการจำลองการทำงานเพื่อพิจารณาฐานค่าคงที่และค่าคงที่ของตัวปรับปรุงค่าประกอบกำลัง 3 แบบ ประกอบด้วย แบบบูสต์ แบบบริดจ์เลสส์ และแบบบริดจ์เลสส์โทเมปอล ซึ่งผลการจำลองการทำงานแสดงให้เห็นว่า แบบจำลองและเทคนิคการควบคุมที่นำเสนอในงานวิจัยนี้สามารถทำงานได้เป็นอย่างดี โดยตัวปรับปรุงค่าประกอบกำลังแบบบริดจ์เลสส์โทเมปอลมีค่าประสิทธิภาพการทำงานสูงสุด

**คำสำคัญ:** ตัวปรับปรุงค่าประกอบกำลัง; บริดจ์เลสส์โทเมปอล; แบบจำลองสวิตช์; คอนเวอร์เตอร์



บทความวิจัย

วารสารวิชาการเทคโนโลยีอุตสาหกรรม (The Journal of Industrial Technology)

ISSN (Print): 1686-9869, ISSN (online): 2697-5548

DOI: 10.14416/j.ind.tech.2023.07.004

## Study, Design, and Simulation of Bridgeless Totem-pole Power Factor Correction

Peerapon Chanhom<sup>1\*</sup> and Natchpong Hatti<sup>2</sup>

<sup>1</sup> Smart System and Smart Energy Conversion Research Unit, Department of Electrical Engineering, Faculty of Industrial Education, Rajamangala University of Technology Suvarnabhumi (Nonthaburi Campus)

<sup>2</sup> Machines and Power Conversions Research Team, Intelligent System Research Group, Thailand's National Electronics and Computer Technology Center

\* Corresponding author, E-mail: peerapon.c@rmutsb.ac.th

Received: 3 December 2022; Revised: 20 March 2023; Accepted: 11 May 2023

Online Published: 29 July 2023

**Abstract:** This research proposes a study on operating modes, control technique, design, and simulation of the bridgeless totem-pole power factor correction (PFC). This PFC has high efficiency and the advantage of the totem-pole circuit where two high-frequency switches for boosting and two diodes for conducting current at line frequency. This results in the loss of the diode's reverse recovery current has been reduced. As this advantage, this research will focus on the study of operating modes and control techniques of bridgeless totem-pole PFC, where this PFC has been modeled and simulated. This model will be adopted for prototype designs and used as one component in various modern power electronics systems simulations. To confirm the validity of the study, three types of PFCs including boost, bridgeless, and bridgeless totem-pole have been simulated for discussion of current and voltage waveform and comparing the efficiency and total harmonic distortion. The simulation results show the model and control technique presented in this research can be worked very well and the bridgeless totem-pole PFC has the highest efficiency.

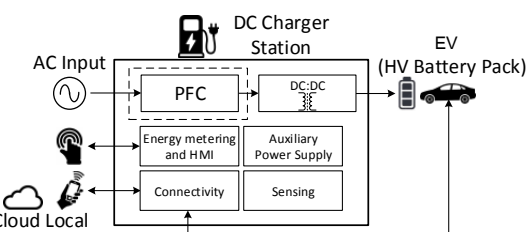
**Keywords:** Power factor correction; Bridgeless totem-pole; Switching modeling; Converter



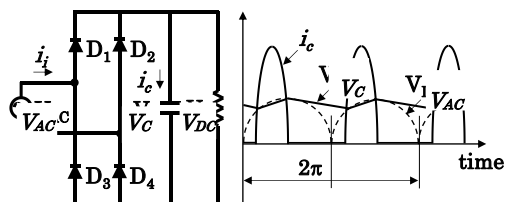
## 1. บทนำ

ตัวปรับปรุงค่าประกอบกำลัง (Power Factor Correction (PFC)) เป็นส่วนประกอบสำคัญในอุปกรณ์อิเล็กทรอนิกส์กำลังสมัยใหม่ เช่น แหล่งจ่ายไฟฟ้ากระแสตรง (Direct Current (DC) Power Supply) และชาร์จเจอร์สำหรับยานยนต์ไฟฟ้า (Electric Vehicle (EV) Charger) ที่ทำหน้าที่อัดประจุแบตเตอรี่แพ็คแรงดันสูง (High Voltage (HV) Battery Pack) ดังแสดงในรูปที่ 1 [1, 2] เป็นต้น ตัวปรับปรุงค่าประกอบกำลังเป็นเทคนิคในการปรับปรุงค่าประกอบกำลังให้สูงขึ้น โดยควบคุมรูปคลื่นของกระแสอินพุตให้มีลักษณะใกล้เคียงกับรูปคลื่นแรงดันกระแสสลับ (ที่มีลักษณะเป็นคลื่นไซน์ (Sine Wave)) วงจรแปลงดันกระแสสลับ (Alternating Current (AC)) ไปเป็นแรงดันกระแสสลับ (Alternating Current (AC)) ที่ไม่มีตัวปรับปรุงค่าประกอบกำลัง เช่น วงจรเรียงกระแสแบบเติมคลื่น (Full-bridge Rectifier) จะใช้บริจจ์ไดโอดเรียงกระแสแล้วแสดงในรูปที่ 2 (ก) ทำให้รูปคลื่นกระแสสลับหลักมูล (Fundamental)  $i_f$  มีความผิดเพี้ยน ส่งผลให้ค่าประกอบกำลังมีค่าต่ำ และกระแส harmonic ที่เกิดขึ้นจะทำให้เกิดสัญญาณรบกวนและเกิดความร้อนในตัวนำ [3, 4] โดยรูปคลื่นของกระแสสลับ  $i_f$  จะมีลักษณะดังรูปที่ 2 (ข) เนื่องจากกระแสสลับ  $i_f$  จะไหลเฉพาะช่วงเวลาที่แรงดันกระแสสลับ  $V_{AC}$  สูงกว่าแรงดันที่ตัวเก็บประจุ  $V_C$

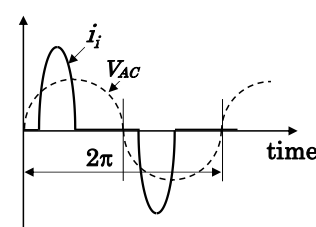
ตัวปรับปรุงค่าประกอบกำลังแบบบูสต์ (Boost) ดังรูปที่ 3 (ก) เป็นเทคนิคที่พัฒนาขึ้นในช่วงแรกและได้รับความนิยมมาจนถึงปัจจุบัน ดังเห็นได้จากการรวม (Integrated Circuit (IC)) ที่มีจำนวนอย่างมาก เช่น 팹ิชาร์จอย่างแพร่หลาย ต่อมาก็พัฒนาเป็นแบบบริจจ์เลสซ์ (Bridgeless) ดังรูปที่ 3 (ข) เพื่อเพิ่มประสิทธิภาพ (Efficiency) ให้สูงขึ้น โดยลดจำนวนอุปกรณ์สารกึ่งตัวนำ (Semiconductor Device) ลงเพื่อลดความสูญเสีย [5] ปัจจุบัน เทคนิคดังกล่าวได้รับการพัฒนาเป็นแบบบริจจ์เลสซ์โทเมลโพล (Bridgeless Totem-Pole) โดยปรับปรุงโครงสร้างและเทคนิคการควบคุมแบบใหม่ ที่สามารถลดความสูญเสียในไดโอด (Diode) จากวงจรแบบบริจจ์เลสซ์เดิมได้ ทำให้สามารถทำงานที่ความถี่สูงขึ้น และมีการตอบสนองที่รวดเร็ว รวมถึงทำให้วงจรมีขนาดเล็กลง [6, 7]



รูปที่ 1 วงจรตัวปรับปรุงค่าประกอบกำลังในอุปกรณ์ชาร์จเจอร์สำหรับยานยนต์ไฟฟ้า



(ก) วงจรเรียงกระแสแบบเติมคลื่น



(ข) กระแสสลับหลักมูล

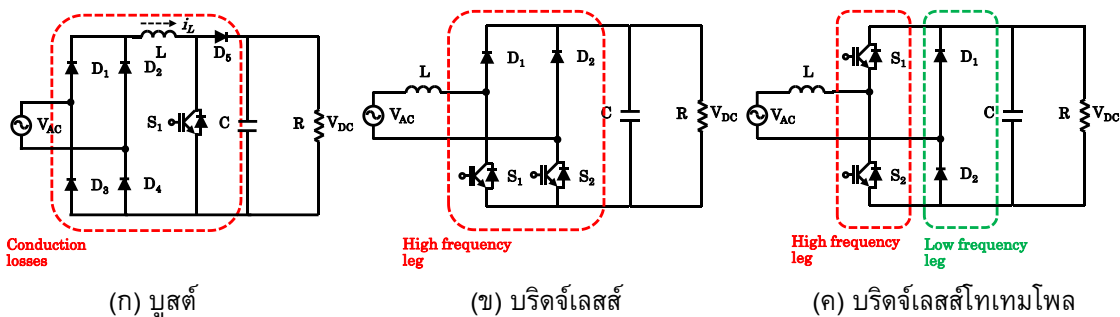
รูปที่ 2 รูปคลื่นแรงดันและกระแสของวงจรเรียงกระแส



## บทความวิจัย

จากที่อธิบายข้างต้น สามารถสรุปโครงสร้างวงจร ภาพรวมการทำงาน และกำลังไฟฟ้าสูญเสียจากการนำกระแสในอุปกรณ์สารกึ่งตัวนำของวงจรตัวปรับปรุงค่าประกอบกำลังแบบต่างๆ ได้ดังตารางที่ 1 ซึ่งแสดงให้เห็นถึงข้อดีของวงจรแบบบริดจ์เลสส์โทเทมโพล ที่เหนือกว่าวงจรตัวปรับปรุงค่าประกอบกำลังแบบอื่นๆ ดังนี้ งานวิจัยนี้จึงมุ่งทำการศึกษาวงจรแบบบริดจ์เลสส์โทเทมโพล โดยศึกษาหลักการทำงาน เทคนิคการควบคุม การออกแบบค่าพารามิเตอร์ การสร้างแบบจำลองและการจำลองการทำงาน เพื่อใช้เป็น

เครื่องมือในการออกแบบและพัฒนาต้นแบบจริง ซึ่งจะเป็นประโยชน์ในการวิจัยและพัฒนา การปรับปรุงเทคนิคการควบคุม รวมถึงการจำลองการทำงานร่วมกับระบบอื่นๆ เช่น สถานีอัคประจุแบตเตอรี่สำหรับยานยนต์ไฟฟ้า เป็นต้น โดยงานวิจัยจะทำการสร้างแบบจำลองการทำงานของวงจรแบบสวิตช์และเทคนิคการควบคุมด้วยโปรแกรมคอมพิวเตอร์เพื่อพิจารณาคุณค่าประสิทธิภาพ แรงดัน รวมถึงเปรียบเทียบประสิทธิภาพที่ได้จากการทำงานของตัวปรับปรุงค่าประกอบกำลัง 3 แบบ



รูปที่ 3 โครงสร้างวงจรตัวปรับปรุงค่าประกอบกำลัง

ตารางที่ 1 กำลังไฟฟ้าสูญเสียในอุปกรณ์สารกึ่งตัวนำของวงจรตัวปรับปรุงค่าประกอบกำลังแบบต่างๆ

แบบของวงจร	รอบทำงาน	สวิตช์	ไดโอด	ความสูญเสียระหว่างการห้ามกระแส
บูสต์	ครึ่งบวกและลบ	S <sub>1</sub> (on)	D <sub>1</sub> , D <sub>4</sub>	2×VF, VDS(on) (high frequency)
		S <sub>1</sub> (off)	D <sub>1</sub> , D <sub>4</sub> , D <sub>5</sub>	3×VF
บริดจ์เลสส์	ครึ่งบวก	S <sub>1</sub> (on), S <sub>2</sub> (off)	S <sub>2</sub> (D)	VF, VDS(on) (high frequency)
	ครึ่งลบ	S <sub>1</sub> (off), S <sub>2</sub> (on)	D <sub>1</sub>	VF, VDS(on) (high frequency)
บริดจ์เลสส์โทเทมโพล	ครึ่งลบ	S <sub>2</sub> (on), S <sub>1</sub> (off)	S <sub>1</sub> (D)	VF, VDS(on) (high frequency)
		S <sub>2</sub> (off), S <sub>1</sub> (on)	D <sub>2</sub>	VF, VDS(on) (high frequency)
	ครึ่งรอบบวก	S <sub>2</sub> (on), S <sub>1</sub> (off)	D <sub>2</sub>	VF, VDS(on) (low frequency)
		S <sub>2</sub> (off), S <sub>1</sub> (on)	D <sub>1</sub>	VF, VDS(on) (low frequency)
บริดจ์เลสส์โทเทมโพล	ครึ่งรอบลบ	S <sub>1</sub> (on), S <sub>2</sub> (off)	D <sub>1</sub>	VF, VDS(on) (low frequency)
		S <sub>1</sub> (off), S <sub>2</sub> (on)	D <sub>1</sub>	VF, VDS(on) (low frequency)



บทความวิจัย

## 2. วิธีการดำเนินงานวิจัย/การทดลอง

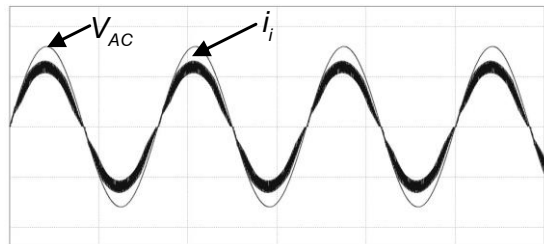
ในส่วนนี้เป็นการวิเคราะห์หลักการทำงานของวงจรตัวปรับปรุงค่าประกอบกำลังแบบต่างๆ และวิธีการควบคุมกระแสของวงจร เพื่อทำการสร้างแบบจำลองโดยมีรายละเอียดดังต่อไปนี้

### 2.1 หลักการทำงานของวงจรแบบบูสต์

วงจรแบบบูสต์มีลักษณะดังแสดงในรูปที่ 3 (ก) เป็นการทำงานร่วมกันระหว่างวงจรเรียงกระแสแบบเติมคลื่นกับวงจรบูสต์คอนเวอร์เตอร์ (Boost Converter) โดยวงจรเรียงกระแสจะเป็นตัวแปลงแรงดันกระแสลับไปเป็นกระแสตรง ส่วนวงจรบูสต์จะทำหน้าที่แปลงแรงดันไฟฟ้ากระแสตรงไปเป็นกระแสเพื่อรักษาระดับแรงดันทางด้านเอาต์พุตตามที่กำหนดไว้ ในส่วนของการควบคุมรูปคลื่นกระแสหลักมูล  $i_i$  วงจรบูสต์จะถูกควบคุมให้มีการทำงานในลักษณะซิงโครนัส (Synchronous) คือการควบคุมจังหวะการ เปิด-ปิด อุปกรณ์สวิตช์  $S_1$  ให้ตรงกับขนาด មุมเฟส และขั้วของแรงดันในช่วงครึ่งรอบบวก (Positive Half Cycle) และครึ่งรอบลบ (Negative Half Cycle) ของแรงดันกระแสลับอินพุต จึงทำให้สามารถควบคุมมุมเฟสและรูปคลื่นของกระแสหลักมูล  $i_i$  ให้มีลักษณะใกล้เคียงกับแรงดันกระแสลับ  $V_{AC}$  ดังแสดงในรูปที่ 4 ทำให้ค่าประกอบกำลังมีค่าสูง

### 2.2 หลักการทำงานของวงจรแบบบริдж์เลสส์

วงจรแบบบริจ์เลสส์มีลักษณะดังรูปที่ 3 (ข) พัฒนาขึ้นเพื่อเพิ่มประสิทธิภาพการทำงานให้ดีกว่าวงจรแบบบูสต์ โดยลดจำนวนอุปกรณ์ลง ทำให้สามารถลดความสูญเสียที่เกิดระหว่างการนำกระแส (Conduction Loss) ของอุปกรณ์สารกึ่งตัวนำในวงจรลงได้วงจรแบบ



รูปที่ 4 กระแส  $i_i$  และแรงดันกระแสลับอินพุต  $V_{AC}$

บริจ์เลสส์มีลักษณะคล้ายกับวงจรบูสต์คอนเวอร์เตอร์ 2 วงจรขนาดกัน วงจรแรกจะทำงานในช่วงครึ่งรอบบวก โดยในช่วงนี้  $S_1$  จะถูกควบคุมจังหวะ เปิด-ปิด เพื่อ อัด-คาย พลังงานให้ตัวเหนี่ยวนำ  $L$  ส่วน  $S_2$  จะหยุดทำงาน (Off-switch) และไดโอด  $D_1$  จะทำหน้าที่ป้องกันไม่ให้กระแสไฟลัดย้อนกลับจากด้านเอาต์พุต สำหรับการทำงานในช่วงครึ่งรอบลบ ตัว  $S_2$  ถูกควบคุมจังหวะ เปิด-ปิด ส่วน  $S_1$  จะหยุดทำงาน และไดโอด  $D_2$  จะทำหน้าที่ป้องกันไม่ให้กระแสไฟลัดย้อนกลับจากเอาต์พุต

### 2.3 หลักการทำงานของวงจรแบบบริจ์เลสส์โท-เทมโพล

วงจรแบบบริจ์เลสส์โทเทมโพลแสดงในรูป 3 (ค) เป็นเทคโนโลยีใหม่ที่ได้รับความนิยมในปัจจุบัน เนื่องจาก มีประสิทธิภาพสูงเมื่อเทียบกับวงจรตัวปรับปรุงค่าประกอบกำลังแบบอื่นๆ ที่กล่าวมา วงจรตัวปรับปรุงค่าประกอบกำลังที่มีลักษณะการทำงานที่โดดเด่นคือ การไฟลุ่งของกระแสสวิตช์ความถี่สูงและกระแสหลักมูล (ที่ความถี่ไลน์ของแรงดันกระแสลับอินพุต) จะแยกออกจากกัน เนื่องจาก  $S_1$  และ  $S_2$  ต่อร่วมกันแบบโทเทมโพล ประกอบกับเทคโนโลยีการควบคุมแบบใหม่ ทำให้สามารถควบคุมกระแสสวิตช์ให้ไฟลุ่งผ่านสวิตช์  $S_1$  และ  $S_2$  ส่วนกระแสหลักมูลนั้นจะไฟลุ่งผ่านไดโอด  $D_1$  และ  $D_2$  ซึ่งการไฟลุ่งของกระแสหลักมูลนี้มีข้อดีคือ สามารถเพิ่มความถี่



## บทความวิจัย

ของอุปกรณ์สวิตช์ได้สูงขึ้น ลดความสูญเสียในไดโอดลง และสามารถลดจำนวนอุปกรณ์สวิตช์ในวงจรลงได้

หลักการทำงานของวงจรแบบบริดจ์เลสส์ไฮ-เทมโพล ประกอบด้วย 4 โหมดการทำงาน (Operation mode) ดังแสดงในรูปที่ 5 โดย 4 โหมดการทำงานนี้จะแบ่งออกเป็นการทำงานในช่วงครึ่งรอบบวกและครึ่งรอบลบ ตามการเปลี่ยนแปลงขั้วของแรงดันกระแสสลับ อินพุต  $V_{AC}$

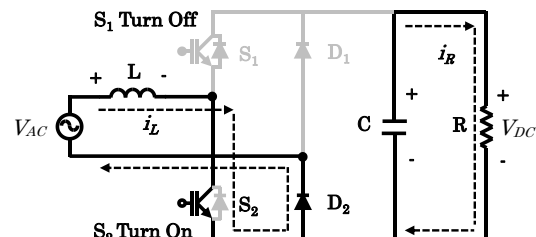
ในช่วงครึ่งรอบบวก เริ่มต้น  $S_2$  จะถูกควบคุมให้ปิด สวิตช์เพื่อทำการอัดพลังงานให้กับตัวเหนี่ยวนำ  $L$  และ  $S_1$  จะหยุดทำงาน ส่วนไดโอด  $D_1$  จะทำหน้าที่ป้องกันไม่ให้กระแส  $i_R$  ไหลย้อนกลับจากເອົາຕີພຸດดังแสดงในรูปที่ 5 (ก) จากนั้น  $S_2$  จะถูกควบคุมให้เปิดสวิตช์ (ในขณะที่  $S_1$  ยังหยุดทำงาน) พลังงานไฟฟ้าที่อัดอยู่ใน  $L$  จะคายไปยังເອົາຕີພຸດเพื่อทำหน้าที่ขยายแรงดันและรักษาระดับแรงดันกระแสตรง  $V_{DC}$  ดังแสดงในรูปที่ 5 (ข)

สำหรับการทำงานในช่วงครึ่งรอบลบ  $S_1$  จะถูกควบคุมให้ปิดสวิตช์เพื่อทำการอัดพลังงานให้กับตัวเหนี่ยวนำ  $L$  และ  $S_2$  จะหยุดทำงาน ส่วนไดโอด  $D_2$  จะป้องกันไม่ให้กระแสไฟไหลย้อนกลับจากເອົາຕີພຸດดังแสดงในรูปที่ 5 (ค) จากนั้น  $S_1$  จะถูกควบคุมให้เปิดสวิตช์ (ในขณะที่  $S_2$  ยังหยุดทำงาน) พลังงานไฟฟ้าที่อัดอยู่ใน  $L$  จะคายไปยังເອົາຕີພຸດเพื่อทำหน้าที่ขยายแรงดันและรักษาระดับแรงดันกระแสตรง  $V_{DC}$  ดังแสดงในรูปที่ 5 (ง)

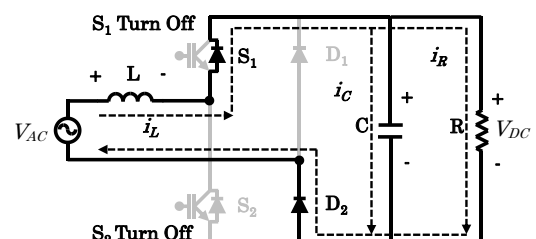
## 2.4 เทคนิคการควบคุมวงจรแบบบริดจ์เลสส์ไฮ-เทมโพล

ตัวควบคุมของวงจรแบบบริดจ์เลสส์ไฮ-เทมโพลแสดงในรูปที่ 6 เป็นตัวควบคุมแบบวงปิด (Closed-Loop) ที่มีการป้อนกลับของสัญญาณควบคุม (Feedback Control) โดยควบคุมแบบพี-ไอ (Proportional

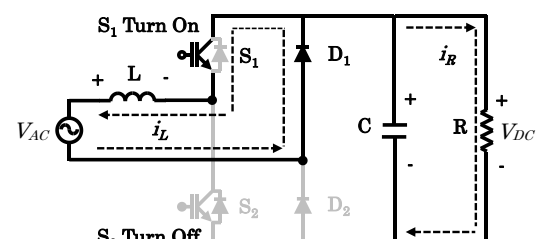
Integral (PI)) ซึ่งเป็นเทคนิคที่เป็นที่นิยมใช้ในการควบคุมทางวิศวกรรม เนื่องจากประยุกต์ใช้งานได้ง่าย และมีเสถียรภาพสูง [7]



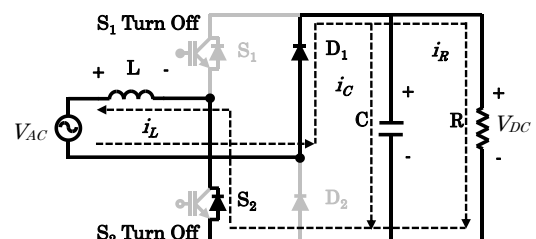
(ก) โหมดอัด (ครึ่งรอบบวก)



(ข) โหมดด้วย (ครึ่งรอบบวก)

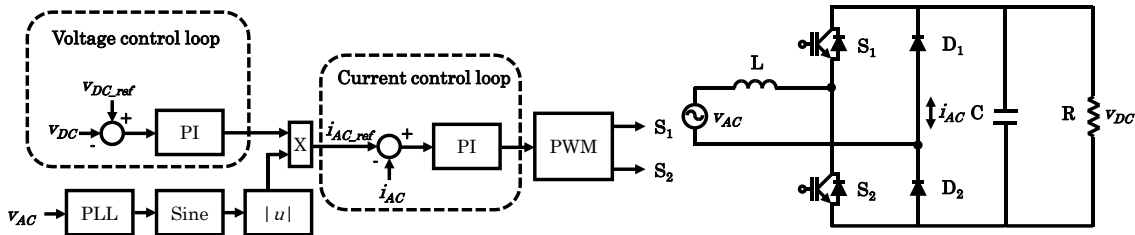


(ค) โหมดอัด (ครึ่งรอบลบ)



(ง) โหมดด้วย (ครึ่งรอบลบ)

รูปที่ 5 โหมดการทำงานของวงจรแบบบริดจ์เลสส์ไฮ-เทมโพล



รูปที่ 6 ตัวควบคุมแบบพิธีของวงจรแบบบริดจ์เลสส์โถกเมมโพลที่นำเสนอด้วยงานวิจัย

รูปที่ 6 แสดงตัวควบคุมประกอบด้วยวงจรควบคุมแรงดัน (Voltage Control Loop) และวงจรควบคุมกระแส (Current Control Loop) เพื่อควบคุมขนาดของแรงดันกระแสตรงเอาต์พุต และขนาดของกระแสสลับหลักมูลให้เป็นไปตามที่กำหนด โดยวงจรควบคุมแรงดันจะอยู่วงนอกและสร้างสัญญาณกระแสสลับอ้างอิง  $i_{AC\_ref}$  ให้กับวงจรควบคุมกระแสที่อยู่ใน และสำหรับสัญญาณที่ใช้ควบคุม  $S_1$  และ  $S_2$  นั้น จะได้จากสัญญาณเอาต์พุตจากการควบคุมกระแสที่ผ่านการmodulateความกว้างพัลส์ (Pulse-width Modulation (PWM))

ในส่วนของการควบคุมกระแสสลับให้มีรูปคลื่นไกลเดียงกับแรงดันกระแสสลับอินพุตนั้น ตัวควบคุม

จะปรับสัญญาณกระแสสลับอ้างอิงโดยนำเอารูปคลื่นของแรงดันกระแสสลับอินพุต  $v_{AC}$  เข้ามาพิจารณาด้วย

### 3. ผลการทดลอง

ในส่วนนี้เป็นการจำลองการทำงานของจรวด้วยโปรแกรมคอมพิวเตอร์ โดยใช้แบบจำลองแบบสวิตชิ่งและเปรียบเทียบประสิทธิภาพของจรวดับปรับปรุงค่าประกอบกำลังทั้ง 3 แบบตามที่ได้อธิบายมาก่อนหน้านี้ โดยจรวด้วยปรับปรุงค่าประกอบกำลังทั้ง 3 แบบจะมีพิกัดทางไฟฟ้าและพารามิเตอร์ของอุปกรณ์รายละเอียดสรุปตามตารางที่ 2 ซึ่งทั้ง 3 แบบที่นำมาเปรียบเทียบจะกำหนดให้มีพิกัดทางไฟฟ้าเท่ากันเพื่อให้สามารถเปรียบเทียบประสิทธิภาพได้อย่างถูกต้อง

ตารางที่ 2 พิกัดทางไฟฟ้าและพารามิเตอร์ของอุปกรณ์ที่ใช้ในการจำลองการทำงาน

พิกัดและพารามิเตอร์ของอุปกรณ์	ค่าปกติ	หน่วย
$V_{AC}$	แรงดันอินพุต (กระแสสลับ)	150-260 โวลต์ (Vrms)
$V_{DC}$	แรงดันเอาต์พุต (กระแสตรง)	385 โวลต์ (V)
$f_{LINE}$	ความถี่แรงดันอินพุต	50 เฮิรตซ์ (Hz)
$f_{SW}$	ความถี่สวิตชิ่ง	65 กิโลเฮิรตซ์ (kHz)
$P_{OUT}$	กำลังเอาต์พุต	4500 วัตต์ (W)
$C_{DC}$	ขนาดตัวเก็บประจุเอาต์พุต	2 มิลลิฟาร์ด (mF)
$L$	ขนาดตัวเหนี่ยวนำ	34 ไมโครเอนรี่ (uH)



### 3.1 พิกัดวงจรตัวปรับปรุงค่าประกอบกำลัง ที่ใช้ในการจำลองการทำงาน

ตารางที่ 2 แสดงพารามิเตอร์ของอุปกรณ์ของวงจรตัวปรับปรุงค่าประกอบกำลังที่ใช้ในการจำลองการทำงาน โดยกำหนดให้ความถี่สวิตชิ่งเท่ากับ 65 กิโล-เอิร์ตซ์ ซึ่งเป็นความถี่ที่ทำให้ขนาดของตัวเหนี่ยวนำไม่ใหญ่จนเกินไป และกำหนดกระแสเรสิปเปิลเม็ดค่าไม่เกิน 15% ในส่วนของขนาดตัวเก็บประจุเอกสาร์พุต  $C_{DC}$  และตัวเหนี่ยวนำ  $L$  สามารถคำนวณได้ตาม [7] ในการจำลองการทำงาน ตัวควบคุมจะต้องสามารถรักษาระดับแรงดันกระแสสัมภาระเอกสาร์พุต  $V_{DC}$  ได้ตามที่กำหนดซึ่งแรงดันกระแสสัมภาระเอกสาร์พุต  $V_{AC}$  จะมีค่าต่ำสุด-สูงสุดอยู่ในช่วงไม่เกิน 150-260 โวลต์ (อาร์.อี.эм.เอส)

### 3.2 แบบจำลองสวิตชิ่งของวงจรแบบบวridج์เลสส์โทเเกมโพลที่ใช้ในงานวิจัย

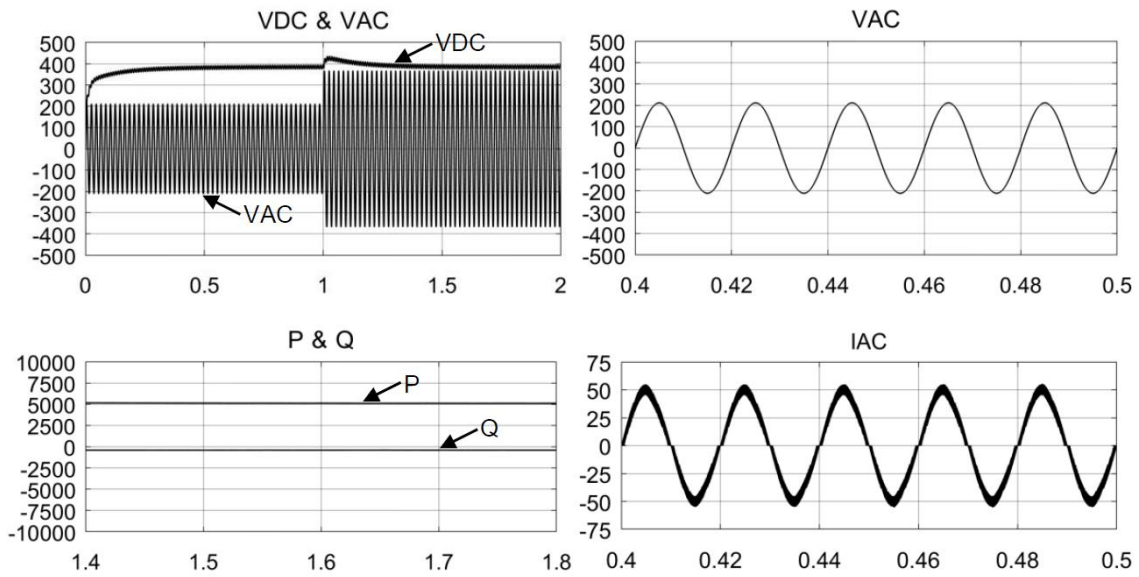
แบบจำลองที่ใช้ในงานวิจัยพัฒนาขึ้นตามที่ได้อธิบายในหลักการทำงานและเทคนิคการควบคุมวงจรตัวปรับปรุงค่าประกอบกำลังในส่วนที่ 2 โดยใช้บล็อกของ MATLAB & Simulink ซึ่งเป็นโปรแกรมจำลองการทำงานที่ได้รับความนิยมในทางวิศวกรรม [8, 9] เพื่อสร้างแบบจำลองแบบสวิตชิ่งให้สามารถจำลองการทำงานที่สามารถพิจารณาความสูญเสียที่เกิดในอุปกรณ์ต่างๆ ในวงจรได้

ตารางที่ 3 เปรียบเทียบประสิทธิภาพสูงสุดในการทำงานและการรับกาวกระแสเรอาร์มอนิกส์

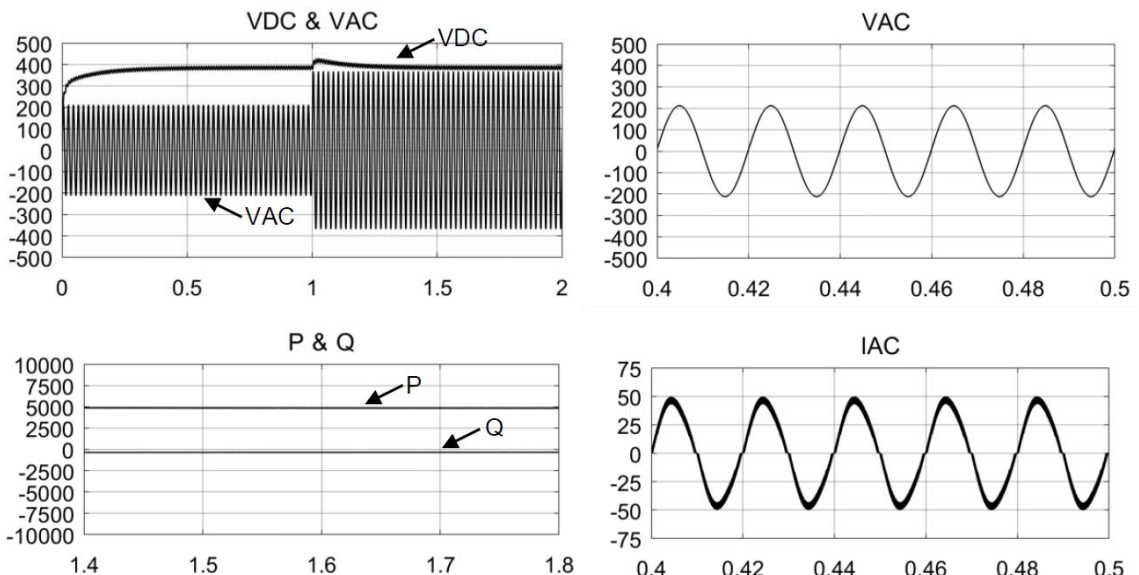
วงจร	ประสิทธิภาพสูงสุด	การรับกาวเรอาร์มอนิกส์รวมสูงสุด
อินเตอร์ลีฟบุสต์	88%	14%
บวridจ์เลสส์	92%	11%
บวridจ์เลสส์โทเเกมโพล	95%	11%



บทความวิจัย



รูปที่ 7 ภาพรวมการทำงานของวงจรแบบอินเตอร์ลิฟบูสต์



รูปที่ 8 ภาพรวมการทำงานของวงจรแบบบริดจ์เลสส์



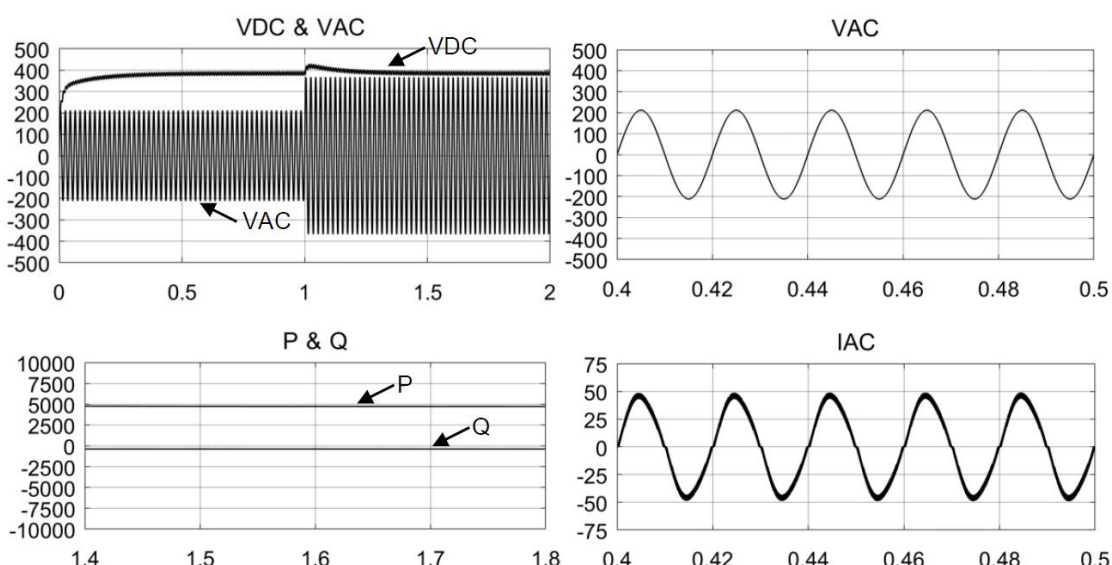
## บทความวิจัย

สำหรับผลการจำลองการทำงานของวงจรแบบบริдж์เลสส์โทเทมโพล จะคล้ายกับวงจรแบบบริจ์เลสส์ ดังแสดงในรูปที่ 9 ซึ่งการทำงานเป็นไปตามพิกัดที่กำหนด เช่นเดียวกัน แต่มีข้อแตกต่างกันในเรื่องของรูปคลื่นของกระแสที่ให้หล่อผ่าน  $S_1$ ,  $S_2$ ,  $D_1$ , และ  $D_2$  ทั้งนี้เนื่องจากการที่  $S_1$  และ  $S_2$  ต่อร่วมกันแบบโทเทมโพล ทำให้เส้นทางการไหลของกระแสสวิตช์ความถี่สูงและกระแสหลักมูล (ความถี่ไลน์ของแรงดันกระแสลับ  $V_{AC}$ ) แยกออกจากกันดังแสดงในรูปที่ 10 โดยกระแสสวิตช์จะไหลผ่านสวิตช์  $S_1$  และ  $S_2$  ส่วนกระแสหลักมูล  $i_L$  จะไหลผ่านไดโอด  $D_1$  และ  $D_2$  ซึ่งการไหลลักษณะนี้จะทำให้ความสูญเสียจากกระแสเซอร์วิสคัฟเวอร์ (Reverse Recovery) ที่ให้หล่อผ่านไดโอดลดลงได้ โดยเมื่อเทียบกับ

วงจรแบบบริจ์เลสส์ กระแสที่ให้หล่อผ่าน  $S_1$ ,  $S_2$ ,  $D_1$ , และ  $D_2$  ดังแสดงในรูปที่ 11 จะเห็นว่า กระแสที่ให้หล่อผ่านไดโอดจะมีส่วนที่เป็นสวิตช์ จึงเกิดความสูญเสียจากกระแสเซอร์วิสคัฟเวอร์ ทำให้ประสิทธิภาพของวงจรแบบบริจ์เลสส์น้อยกว่า วงจรแบบบริจ์เลสส์โทเทมโพล ดังสรุปในตารางที่ 3 โดยค่าประสิทธิภาพจะคำนวณจากสมการ (1)

$$\text{ประสิทธิภาพ}(\%) = [\frac{\text{กำลังไฟฟ้าจริงกระแสตรง} (P_{DC}) / \text{กำลังไฟฟ้าจริงกระแสลับ} (P_{AC})}{\text{กำลังไฟฟ้าจริงกระแสลับ} (P_{AC})}] \times 100 \%$$
(1)

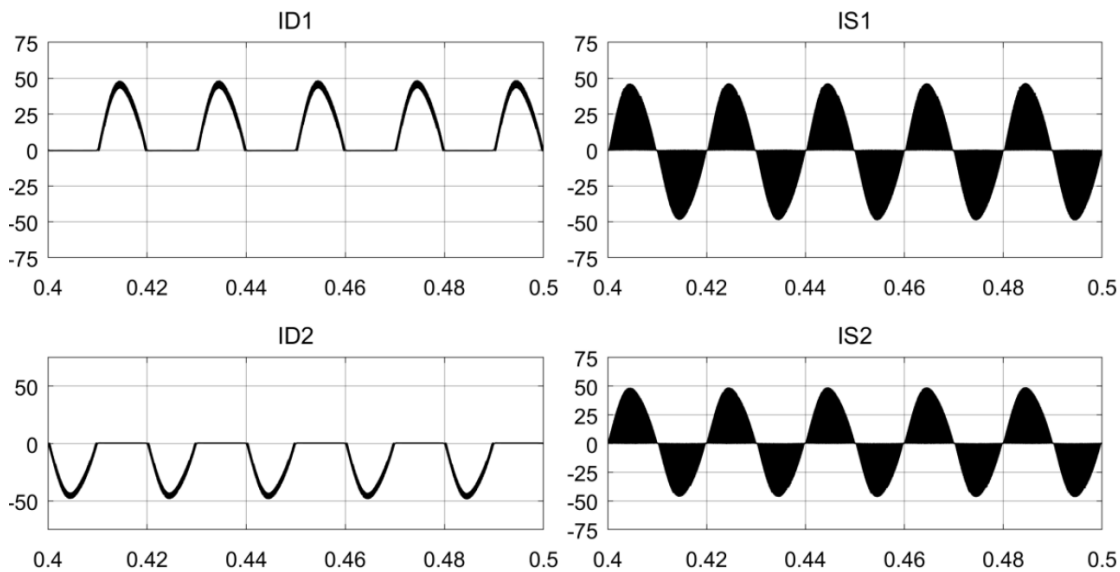
ซึ่งจะวัดขณะวงจรทำงานที่พิกัดกำลังไฟฟ้าสูงสุด ส่วนการรบกวนอาร์มอนิกส์จะใช้บล็อกวัดสัญญาณการรบกวนอาร์มอนิกภายในโปรแกรมคอมพิวเตอร์



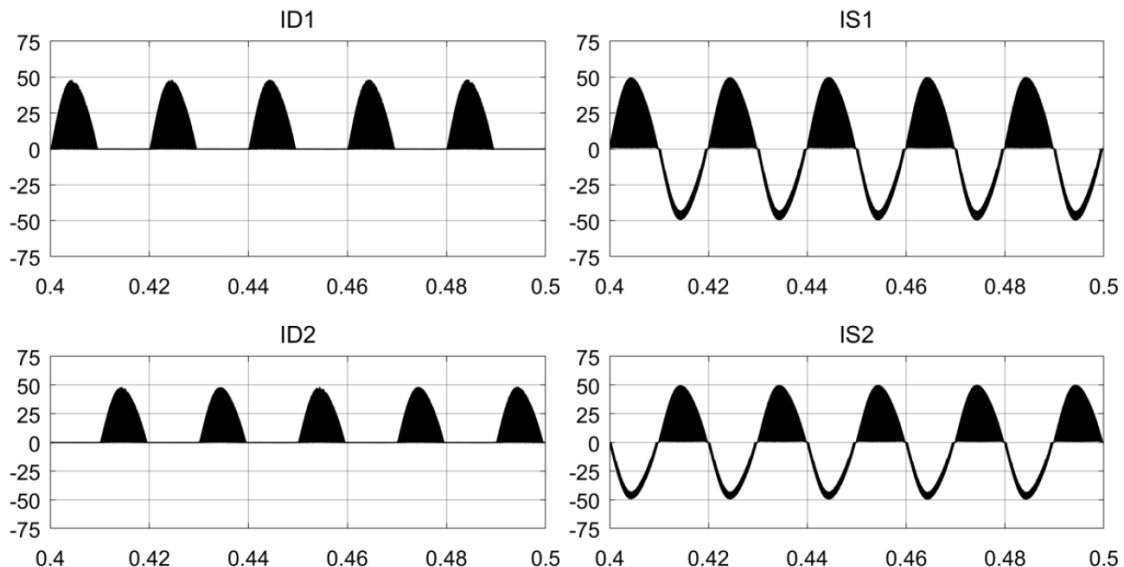
รูปที่ 9 ภาพรวมการทำงานของวงจรแบบบริจ์เลสส์โทเทมโพล



บทความวิจัย



รูปที่ 10 กระแสไฟฟ้าในหลอดผ่าน  $D_1$ ,  $D_2$ ,  $S_1$  และ  $S_2$  ของวงจรแบบบิดจ์เลสส์ไฟเกลียวโอล



รูปที่ 11 กระแสไฟฟ้าในหลอดผ่าน  $D_1$ ,  $D_2$ ,  $S_1$  และ  $S_2$  ของวงจรแบบบิดจ์เลสส์



#### 4. สรุปผลการทดลอง

งานวิจัยได้ศึกษาหลักการทำงาน เทคนิคการควบคุม การออก แบบ และจำลองการทำงานของตัวปรับปรุงค่าประกอนกำลังแบบบริดจ์เลสส์โทเทมโพล ซึ่งมีประสิทธิภาพการทำงานสูงสุดเมื่อเทียบกับประเภทอื่นๆ เมื่อจากตัวปรับปรุงค่าประกอนกำลังชนิดนี้ มีจำนวนอุปกรณ์น้อย และมีโครงสร้างวงจรและวิธีการควบคุมที่ทำให้การไฟล์ของกระแสสวิตช์ความถี่สูงและกระแสเหล็กมีความถี่ต่ำแยกออกจากกัน ทำให้ความสูญเสียจากการแสร์เวอร์รีคัฟเวอร์รีของไดโอดลดลง ซึ่งเป็นความสูญเสียหลักของอุปกรณ์ประเภทนี้ ดังเห็นได้จากการเปรียบเทียบประสิทธิภาพของการจำลองการทำงานของตัวปรับปรุงค่าประกอนกำลัง 3 แบบ ประกอบด้วย แบบบูสต์ แบบบริดจ์เลสส์ และแบบบริดจ์เลสส์โทเทมโพล ซึ่งผลการจำลองการทำงานแสดงให้เห็นว่า ตัวปรับปรุงค่าประกอนกำลังแบบบริดจ์เลสส์โทเทมโพล มีค่าประสิทธิภาพการทำงานสูงที่สุด ซึ่งแบบจำลองและเทคนิคการควบคุมที่นำเสนอในงานวิจัยนี้สามารถทำงานได้เป็นอย่างดี โดยแบบจำลองและเทคนิคการควบคุมในงานวิจัยนี้สามารถนำไปประยุกต์ใช้เป็นเครื่องมือในการออกแบบและพัฒนาต้นแบบจริง ซึ่งจะเป็นประโยชน์ในการวิจัยและพัฒนาการปรับปรุงเทคนิคการควบคุม รวมถึงการใช้เป็นส่วนหนึ่งในการจำลองการทำงานร่วมกับระบบอิเล็กทรอนิกส์ กำลังสมัยใหม่ เช่น แหล่งจ่ายไฟฟ้ากระแสตรง และชาร์จเจล์สำหรับยานยนต์ไฟฟ้า เมื่อต้น

#### 5. เอกสารอ้างอิง

- [1] S. S. Sayed and A.M. Massoud, Review on state-of-the-art unidirectional non-isolated power factor correction converters for short-/long-distance Electric Vehicles, *IEEE Access*, 2022, 10(1), 11308-11340.
- [2] S. Inamdar, A. Thosar and S. Mante, Literature review of 3.3kW on board charger topologies, *The 3<sup>rd</sup> International Conference on Electronics, Communication and Aerospace Technology (ICECA 2019)*, Proceeding, 2019, 276-281.
- [3] Z. Chen, B. Liu, Y. Yang, P. Davari and H. Wang, Bridgeless PFC topology simplification and design for performance benchmarking, *IEEE Transactions on Power Electronics*, 2021, 36(5), 5398-5414.
- [4] Application Note, Power Factor Correction (PFC) Circuits, 2019.
- [5] User Guide, TDTP4000W065AN\_0V1: 4kW Analog Bridge-less Totem-pole PFC Evaluation Board, 2021.
- [6] SLUA479B, Application Report, UCC28070 300-W Interleaved PFC Pre-Regulator Design Review, 2008.
- [7] SLUSBQ5D, UCC28180 Programmable Frequency, Continuous Conduction Mode (CCM), Boost Power Factor Correction (PFC) Controller, 2016.



- [8] W.H. Liao, S.C. Wang and Y.H. Liu,  
Generalized simulation model for a switched-mode power supply design course using  
MATLAB/SIMULINK, IEEE Transactions on Education, 2012, 55(1), 36-47.
- [9] J.H. Su, J.J. Chen and D.S. Wu, Learning feedback controller design of switching converters via MATLAB/SIMULINK, IEEE Transactions on Education, 2002, 45(4), 307-315.